

目录/Contents 第三章 科技论文写作

第一节 科技论文的写作规范

第二节 竞赛论文的写作要求









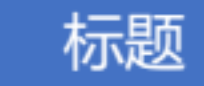


科技论文的结构

论文标题,作者署名,摘要(关键词),引言,正文,参考文献,附录

正文的结构

问题介绍,文献综述,基本假设和分析(符号),主要结果,待解决问题



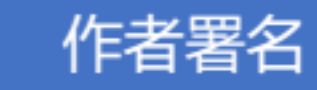








- ▶ 科技论文的中心和总纲
- ▶ 准确恰当,建模扼要,醒目规范,便于检索
- ▶ 一般不超过20个字
- ▶ 可以加副标题
- ▶ 最好是名词性短语
- ▶ 避免使用非公用的缩写、符号、代号
- ▶ 避免出现公式、化学式、结构式











- ▶ 文责自负
- ▶ 拥有著作权的标志
- ▶ 包括工作单位和联系方式
- ▶ 多为作者的署名顺序











- > 全文不加注释和评论的概述
- ▶ 字数在200—400字之间
- ▶ 包括研究工作的内容、目的、重要性、方法、意义
- ▶ 是一篇完整独立的短文
- 不用图、表、公式、非公用符号,参考文献
- ▶ 关键词
 - ▶ 一般3-8个
 - 文中摘要的关键字,反应问题背景、方法等
 - ▶ 便于检索及论文分类











- ▶ 前言、导言、序言、绪论
- 文章的开场白,写明主要目的、范围、研究现状、
- 本论文的理论基础、技术路线、实验方法、手段、选择的理由
- ▶ 可以不标序号,或者标为0











▶ 层次标题

- ▶ 内容贴切、尽量使用排比
- ▶ 层次清楚,不宜太深,如 一、1、a
- ▶ 尽量可以见名知意

▶ 图

- ▶ 具有自明性,清晰,元素齐全
- ▶ 标题在图的正下方,统一对齐方式

▶ 表

- ▶ 具有自明性,清晰,标注齐全,单位统一
- ▶ 标题在表正上方,统一表格样式(线条,颜色,背景,对齐)











▶ 数学公式

- ▶ 文中公式、独立公式,成为句子的成分
- ▶ 公式编号
- ▶ 公式规范
- ▶ 数量与单位
 - ▶ 统一规范,使用正体
 - ▶ 具有统计意义的数字使用阿拉伯数字
 - > 汉字表示约数
 - ▶ 外文符号规范
- ▶ 标点符号
 - ▶ 全文统一
 - ▶ 全角、半角符号规范











- ▶ 论文的总结
- > 实验、观测、计算、分析得到的最后的结论
- ▶ 覆盖全文的工作











- ▶ 引用前人(包括自己)的工作(数据、结论、观点、材料)
- ▶ 体现研究工作的基础,承认和尊重他人的研究工作
- ▶ 参考文献类型: 图书、会议录、期刊论文、学位论文、报告、标准、专利、 数据库、档案、数据集
- ▶ 格式
 - ▶ [1] 谢金星、薛毅,优化建模与LINDO/LINGO软件,北京:清华大学出版社,2005
 - ▶ [2] 刘德刚,首都机场机舱清洁服务人力资源优化配置与排班计划方法研究,中国运筹 学会第七届学术交流会论文集[C],香港: Global-Link出版社,602-608
 - ▶ [3] 吴燕生,中国航天运载系统的发展与未来[J],导弹与航天运载技术,2007(5):1-4
 - ▶ [4] 张艳宗,数独的难度衡量、生成及微粒群算法[D],杭州:浙江大学,2009

目录/Contents 第三章 科技论文写作

第一节 科技论文的写作规范

第二节 竞赛论文的写作要求











▶ 匿名

- ▶ 不评价自己论文
- ▶ 竞赛论文的评阅标准
 - ▶ 假设的合理性
 - ▶ 模型的创造性
 - ▶ 结果的正确性
 - > 表述的清晰性
- ▶ 摘要
 - ▶ 写明三件事
 - ▶ 什么问题? 什么方法? 什么结论?











- ▶ 问题重述
 - ▶ 不抄赛题
- ▶ 模型的假设
 - ▶ 写明假设的理由
- ▶ 论文的层次结构
 - 不写意义不明的标题,如 "模型1的分析"
- ▶ 建模方法的选择
 - ▶ 不迷信 "三板斧" ,不追求 "全能新" ,不崇尚 "高大上"
- > 表述清楚
 - ▶ 公式、数据、图表都有相应的解释
- ▶ 论述的连贯性



标题的一个例子









- ➤ 基于离散化代数模型的CT参数标定及图像重现
- ▶ CT系统参数标定及成像
- ➤ CT系统标定参数的确定及成像信息
- ▶ A题: CT系统参数标定及成像
- ➤ CT系统参数标定及成像建模
- ▶ 标题: CT系统参数标定及成像
- ➤ CT系统参数标定及成像的数学模型
- ▶ 关于CT机参数标定与重建图像的研究

摘要的一个例子









CT系统可以在不损坏样品的情况下,利用样品对射线能量的吸收特性,实现对样品的断层成像,由此获取样品的内部结构的信息。由于精度和稳定性的要求较高,所以CT系统在安装的时候产生的误差,往往对成像的质量影响较大。本文通过模板对CT系统进行参数标定,并借此反投影成像;通过对参数标定的精度和稳定型进行评价,并提出新的精度较高的模板。

通过X射线穿过物体后的强度公式,分析得到均与介质接受信息和厚度成正比。根据圆的特性和穿过圆边缘的X射线穿过的厚度,结合勾股定理,设处与椭圆相切的X射线的直线方程,联立椭圆方程,结合两平行相切X射线的距离,接触直线的斜率,继而求出180个方向。对附件2中的接收信息进行滤波反投影,与附件1图像进行对比,通过平移调整反投影得到的信息,使原图像中心和像素中心重合,从而根据调整情况求出实际旋转中心,在以正方形托盘的中心为坐标原点,以椭圆短轴所在直线为x轴,长轴所在直线为y轴,建立直角坐标系中的坐标为(9.1030cm,6.3448cm).

(后面还有两段)



引用的一个例子









关于问题的解决思路,需要寻找一种算法来进行还原步骤,在查阅资料后,我们发现了Radon变换是一个较为符合该情况的一种积分变换:一幅图像在某一特定角度下的Radon变换会产生若干个线积分值,且每个线积分值都会对应一个径向坐标,各个角度的Radon变换值汇总在一起就构成了一幅Radon变化图[2]。

- [1] 姜启源, 谢金星, 叶俊编, 数学模型, 高等教育出版社, 2003年8月第三版
- [2] 王道档, 基于空间解析几何的锥束CT系统角度偏差测量, 光电子激光, 2014年25卷 第10期, 1955-1962









自建库查重、全文库查重

查重比例73.5%

疑似剽窃观点 (2)

C202209003169

.pdf_第1部分

- 进行可视化处理,绘制不同玻璃类型风化前后主要化学成分含量的频率分布直方图,通过观察数据的波动情况得出结论 :风化后,高钾玻璃主要成分含量显示下降趋势,铅钡玻璃主要成分含量显示上升趋势。
- 灵敏度变化分别为-10%、-5%、1%、5%、 10%、20%、30%,得到结论:扰动大小为30%时,模型的准确率为91%,在其他 扰动下准确率均为100%。

针对问题一,分析表单 1 中的数据规律,首先对四个定 类变量使用卡方检验进行差异性分析,计算得到显著性 P值,再根据显著性 P值是否小于 0.05 的大小关系判 断出:玻璃文物的表面风化与玻璃类型之间存在显著性 差异,与颜色和纹饰之间不存在显著性差异。 为了检验研究的真实程度,进行效应量化分析,考虑 phi、Crammer's V、列联系数与 lambda 四种参数,判 断 面风化都不显示出差异性,因此,得出玻璃的表面风化只于其玻璃类型有较大关系,最后进行效应量化分析进

2022C7415202208 -《个人比对库》- 2022-09-18(是否引证:否)

1.错误数据,将颜色为空值的部分根据风化程度规律设定为黑色处理,将其他空值进行填"0"处理,进行接下来的计算针对问题一,首先针对四个定类变量使用卡方检验进行分析,根据显著性 P 值是否小于 0.05 判断出玻璃类型和颜色与表面风化存在显著性差异,与纹饰不存在显著性差异。针对问题二,首先将玻璃类型仅分为风化前和风化后,然后使用

2022C5132220601 -《个人比对库》- 2022-09-18(是否引证:否)

1.15 和 17,将颜色为空值的部分根据风化程度设定为 黑色处理,将其他空值填"0"处理,进行接下来的计算。 针对问题一,首先对四个定类变量用卡方检验进行分析

3











找一些下面的资料阅读,关注格式,而不是内容:

- 1. 期刊文章
- 2. 教材或者专著
- 3. 研究报告
- 4. 课件,展示板
- 5. 科普文章

找出他们的区别与共同点。自己尝试写一个。

